

ТЕХНОЛОГИЯ НЕОРГАНИЧЕСКИХ ВЕЩЕСТВ

УДК 546.831;643

I.P. Биков, В.Г. Верещак

СТРУКТУРНО-ХІМІЧНІ ОСОБЛИВОСТІ ТЕРМІЧНОГО РОЗКЛАДАННЯ СУМІСНО ОСАДЖЕНИХ ГІДРОКСИДІВ ЦИРКОНІЮ З ДОМІШКАМИ ІТРІЮ(ІІІ), СКАНДІЮ(ІІІ), ЦЕРІЮ(ІV)

Інститут проблем матеріалознавства ім. І.М. Францевича НАН України, м. Київ
ДВНЗ “Український державний хіміко-технологічний університет”, м. Дніпропетровск

Методом ЯМР досліджено вплив домішкових елементів Ітрію(ІІІ), Скандію(ІІІ) та Церію(ІV), а також таких водневмісних лігандрів, як вода і OH-групи, на структурно-хімічні особливості продуктів термічного розкладу сумісно осаджених гідроксидів цирконію(ІV) та ітрію(ІІІ), цирконію(ІV) та скандію(ІІІ), цирконію(ІV) та церію(ІV) і стабілізацію високотемпературних модифікацій діоксиду цирконію.

Вступ

Метод сумісного осадження є одним з найпоширеніших методів в технології нанорозмірних порошків стабілізованого діоксиду цирконію [1,2]. При введенні у вихідні розчини цирконію(ІV) домішок стабілізуючих елементів, останні в залежності від умов осадження (рН середовища, хімічних властивостей катіона, що співосаджується, концентрації розчинів, температури осадження) взаємодіють з основною матрицею (гідроксидом цирконію), і можуть утворювати механічну суміш гідроксидів $ZrO(OH)_2 \cdot nH_2O + MeO(OH)_2 \cdot nH_2O$, поверхневі сполуки за рахунок адсорбційних сил, або відповідні комплекси типу $Zr_{1-x}Me_xO(OH)_y \cdot nH_2O$ [3,4]. Подальше термічне обробленні сумісних осадів приводить до утворення твердих розчинів заміщення типу $Zr_{(1-x)}Me_xO_y$, які в технології називають стабілізованим діоксидом цирконію [2]. Так, як процес синтезу твердого розчину є дифузійно лімітованою реакцією, то важливо знати, як впливають домішки елементів, а також такі водневмісні ліганди, як вода і OH-групи, на структурно-хімічні особливості продуктів термічного розкладання сумісно осаджених гідроксидів цирконію(ІV) та ітрію(ІІІ), цирконію(ІV) та скандію(ІІІ), цирконію(ІV) та скандію(ІІІ) та їх вплив на стабілізацію високотемпературних модифікацій діоксиду цирконію.

Метою даної роботи було дослідження методом ЯМР впливу домішкових елементів, а також таких водневмісних лігандрів, як вода і OH-групи, на структурно-хімічні особливості термічного розкладу сумісно осаджених гідроксидів цирконію(ІV) і ітрію(ІІІ) та цирконію(ІV) і скандію(ІІІ), цирконію(ІV) та церію(ІV) і стабілізацію високотемпературних модифікацій діоксиду цир-

конію.

Методика досліджень

Об'єктами дослідження були зразки $Zr_{0,92}Sc_{0,08}O(OH)_{0,5} \cdot nH_2O$ (зразок 1), $Zr_{0,92}Y_{0,08}O(OH)_{0,5} \cdot xH_2O$ (зразок 2) і чотири зразки складу $Zr_{1-x}Ce_xO(OH)_{0,5} \cdot nH_2O$ (де x – відповідно Ce в перерахунку на CeO_2 в кількості 2, 4, 6 і 8 мол.%, зразки 3, 4, 5, 6). Всі зразки одержані і прожарені в інтервалі температур 20–1200°C протягом однієї години. Одержання зразків виконували за методикою [5]. Дослідження здійснені з використанням ЯМР MAS 1H і стаціонарного ЯМР ^{45}Sc . Спектри ЯМР записувалися за допомогою радіоспектрометра «Avance-400» (виробництво фірми «Bruker»). Визначення втрати маси при прожарюванні зразків визначалось методами термогравіметричного аналізу. Визначення фазового складу виконували методами рентгенівського фазового аналізу.

Результати досліджень і їх обговорення

Як видно з рис. 1 спектри ЯМР 1H для оксидів цирконію з домішкою Sc(ІІІ) істотно змінюються при термічному обробленні зразка. Спектр вихідного зразка складається з одиничної лінії, зміщеної у бік високих частот на $\delta=83,6$ м.ч. (мільйонна частка) відносно частоти Лармора і шириною на половині висоти ($\Delta v_{1/2}=2,4$ м.ч.). Підігрівання зразка до 100°C призводить до зміщення лінії на $\delta=84,4$ м.ч і до його розширення ($\Delta v_{1/2}=6,8$ м.ч.). При прогріванні зразка до 150°C відбувається подальше зміщення цієї лінії у бік більш високих частот на $\delta=85,4$ м.ч. без зміни її ширини.

Крім того, на фоні широкій лінії чітко виявляються принаймні три відносно вузькі компоненти рівної ширини ($\Delta v_{1/2}=1$ м.ч.) з хімічними

зміщеннями $\delta_1=85,66$; $\delta_2=84,43$ і $\delta_3=83,26$ м.ч. і співвідношенням інтенсивностей 6:3:1 відповідно (рис. 1). Прожарювання зразка до 250°C приводить до зміщення всього спектра у бік низьких частот, зменшення його інтенсивності, збереження мультиплетності і співвідношення інтенсивностей між вузькими компонентами. Прожарювання зразка до 400°C приводить до подальшого зміщення спектра у бік низьких частот, зменшення інтенсивності триплету, який повністю зникає у зразку, прожареному при 500°C.

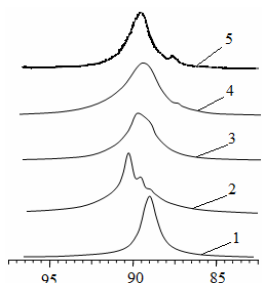


Рис. 1. Спектри ЯМР MAS ^1H зразка $\text{Zr}_{0.92}\text{Sc}_{0.08}\text{O}(\text{OH})_{0.5}\cdot\text{nH}_2\text{O}$, прожарених при температурах, °C: 1 – 20; 2 – 150; 3 – 400; 4 – 500; 5 – 700

У спектрі протонного резонансу зразка, прогрітого в інтервалі температур 500–700°C (рис. 1, кр. 5,4) спостерігаються три слабко дозволені компоненти на $d=83,5$ м.ч. Зміна всього спектра з початку прожарювання у бік високих частот, потім у бік низьких частот і знову у бік високих частот пов’язана зі зміною об’ємної магнітної сприйнятливості зразка при дегідратації і дегідроксиляції. Поява при температурах до 150°C і зникнення при 400°C триплету пов’язана зі змінами в структурі протонних угрупувань оксиду цирконію при його прожарюванні.

Для оцінювання кількості різних протонних угрупувань виконувався контроль втрат маси у всьому температурному інтервалі. Порівнюючи дані ЯМР і втрати при прожарюванні, можна виділити різні угрупування та їх термічну стабільність. Так, більша частина (29,56%) втрати маси відбувається до температури 150°C, що пов’язано з десорбуванням молекул води з поверхні нанокристалів ZrO_2 . З іншого боку, в спектрах ЯМР ^1H спостерігалося зміщення ліній в бік високих частот і їх розширення. Це вказує на те, що на поверхні кристалів присутні OH-групи, а між ними і молекулами води відбувається інтенсивний протонний обмін, який уповільнюється при втраті значної частини молекул води. Інші протонні угрупування виділяються при більш високих температурах в три етапи: 150–400°C, 400–600°C і 600–800°C і становлять 9,22, 2,42 та 0,82 мас.% відповідно (рис. 2).

Ці три етапи повністю корелюють із трьома етапами змін у протонних спектрах (рис. 1, 3). Самим незвичайним є поява триплету при про-

жарюванні зразка до 150°C. Це вказує на те, що в ZrO_2 , при значній втраті води утворилися своєрідні протонні угрупування, які проявляються в спектрі ЯМР у вигляді триплету. Необхідно з’ясувати, є цей триплет спіновим мультиплетом, або це три компоненти від структурно нееквівалентних протонів.

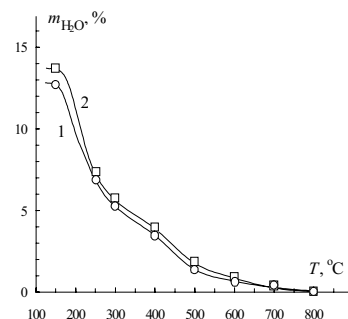


Рис. 2. Загальні втрати ($\text{H}_2\text{O}+\text{OH}$) в зразках $\text{Zr}_{0.92}\text{Sc}_{0.08}\text{O}(\text{OH})_{0.5}\cdot\text{nH}_2\text{O}$ – 1 і $\text{Zr}_{0.92}\text{Y}_{0.08}\text{O}(\text{OH})_{0.5}\cdot\text{nH}_2\text{O}$ – 2 в залежності від температури прожарювання

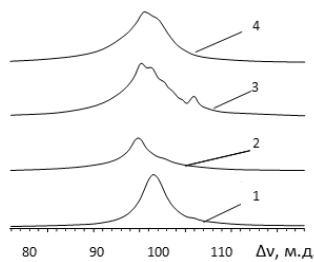


Рис. 3. Спектри ЯМР MAS ^1H зразків складу $\text{Zr}_{0.92}\text{Y}_{0.08}\text{O}(\text{OH})_{0.5}\cdot\text{nH}_2\text{O}$, прожарених при температурах, °C: 1 – 20; 2 – 150; 3 – 400; 4 – 500

Відомо, що в умовах повільного обміну компоненти мультиплету спіни чітко розділені [6]. Але за мірою того, як швидкість обміну зростає, вони розширяються і починають перекриватися, поки зрештою не з’явиться одна лінія, що відповідає високій швидкості обміну. Для існування в спінах мультиплетів необхідно, щоб взаємодіючі ядра зберігали постійну орієнтацію векторів магнітних моментів в перебіг часу більшого $1/J$, де J константа спін-спінової взаємодії. Будь-який процес обміну, який безперервно переміщує взаємодіючі ядра з ядрами довільної орієнтації, приводить до зміщення стану спінів і зникнення мультиплету. Це трактування справедливе, якщо хімічне зрушення велике в порівнянні із спін-спіновою взаємодією. В даному випадку це не виконується і, крім того, розщеплювання між компонентами дещо різне, тому можна говорити або про дублет спіну із співвідношенням інтенсивностей 2:1 і третин компонентів, або всі три компоненти є окремі лінії від різних протонних угрупувань. На окремі лінії вказує те, що спін-спінове розщеплювання $J_{\text{H-H}}=400$ Гц, яке спостерігається

в триплеті, дуже велике для внутрішньо молекулярних взаємодій. Звичайно $J_{\text{H-H}}$ у протонних спектрах знаходиться в інтервалі 1–10 Гц [6,7]. На користь окремих ліній свідчить і той факт, що в протонних спектрах ZrO_2 з домішками ітрію та чітко виділені елементарні компоненти, які виявляються у зразках прожарених при 150°C (рис. 3). Підвищення температури до 400°C також показало помітні відмінності в поведінці вузьких компонент для зразків 1 і 2, що проявляються на тлі широкої компоненти. Для зразка 2, прожареного при 150–250°C, проявляється тільки компонента на $\delta=85,0$ м.ч., а компоненти на $\delta=83,6$ і $\delta=82,4$ проявляються тільки у зразках, прожарених при 300°C, приблизно рівній інтенсивності. Крім того, при цій температурі, чітко виявилася компонента на $\delta=79$ м.ч., яка пов'язана з домішкою іншої фази (можливо $\text{Y}(\text{OH})_3$), оскільки вона зникає для зразка, прожареного при 350°C.

Таким чином, мультиплетна структура спектрів ЯМР обумовлена окремими лініями, які відображають молекули води, що локалізовані у відкритих мезопорах різного діаметра. Інтенсивність високочастотної компоненти на $\delta=85$ м.ч. вказує на кількість дрібніших пор, а інтенсивності компоненти в районі $\delta=83$ і 82 м.ч. відображають кількість молекул води в макропорах. Це вітікає з того, що в мікропорах молекули води міцніше зв'язані з поверхнею, а значить, протони сильніше екраниовані електронами оксиду цирконію. Відкритість пор виходить з того, що в вихідних зразках відбувається інтенсивний протонний обмін між різними протонними угрупуваннями і перемішування молекул води на відкритій поверхні і в мезопорах. Кількість всіх типів протоновмісних угрупувань дещо більше в зразку 2 (45,8 мас.%) в порівнянні з зразком 1 (38,75 мас.%).

Порівнюючи дані ЯМР і втрати води у інтервалі температур 150–400°C, одержмо кількість води в мезопорах зразків 1 і 2, яка складає 9,22 і 10,2 мас.% відповідно.

Другий етап виділення води відповідає інтервалу температур (400–600°C) і проявляється в спектрах ЯМР обох зразків слабко дозволеними двома компонентами з $\delta=84,2$ і 83,0 м.ч. Компонента з меншим хімічним зсувом відноситься до OH-груп локалізованих на поверхні часток ZrO_2 , а з великим зсувом до OH-груп, які знаходяться всередині структури кристалів.

Третій етап виділення води відповідає інтервалу температур (600–800°C) і проявляється в спектрах ЯМР обох зразків одночичною компонентою на $\delta=84,2$ м.ч. і шириною $\Delta\nu_{1/2}=3,2$ м.ч. Ця компонента відноситься до структурних OH-груп. Їх кількість в обох зразках є приблизно однаковою і дорівнює 0,8%, тобто корелюється з кількістю домішкових іонів Sc(IV) і Y(III). Це вказує на те, що при гетервалентному ізоморфізмі за схемою $\text{Zr}(\text{IV})-\text{Me}(\text{III})$ не вистачає заряду для

досягнення електронейтральності, компенсується заміщенням в аніонній частині структури діоксиду цирконію O^{2-} на OH^- . Це припущення підтверджується і даними, отриманими для ZrO_2 з домішкою CeO_2 .

Три етапи виділення високотемпературної (150–800°C) води спостерігаються і в зразках 3, 4, 5, 6 діоксиду цирконію з домішками 2, 4, 6 і 8% CeO_2 відповідно (рис. 3, 4). Спектри ЯМР ^1H для зразків 2 і 6 виявилися практично ідентичними. Прожарювання зразків до 150°C не приводить до появи чіткого триплету, тобто в зразках 6, як і в зразках 2 переважали мікропори. Температурний інтервал виділення порової води для зразка 6 (150–400°C співпадає з інтервалом для зразків 1, 2, 3, 4 та 5. Кількість порової води в зразках 3–6, за винятком зразка 4, помітно більше, ніж в зразках з домішкою скандію та ітрію. Так, в зразках 3–6 кількість порової води складає 10,2; 5,3; 12,2 і 9,3%, а в зразках 1 і 2 – 7,5 і 7,9% відповідно.

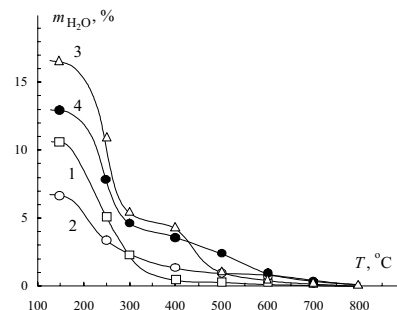


Рис. 4. Загальні втрати ($\text{H}_2\text{O}+\text{OH}$) в зразках $\text{Zr}_{1-x}\text{Ce}_x\text{O}(\text{OH})_{0.5}n\text{H}_2\text{O}$ в залежності від температури прожарювання (x – концентрація церію в перерахунку на CeO_2 , мол. %): 1 – 2; 2 – 4; 3 – 6; 4 – 8

Другий етап виділення води в зразках 3–6 пов'язаний з поверхневими OH-групами і показує тенденцію збільшення їх кількості зі зростанням кількості домішкових іонів церію, яка змінювалася у ряді 0,27; 0,97; 3,63 і 2,70 відповідно.

Третій етап виділення структурних OH-груп із зразків 3–6 показав практично лінійне зростання їх кількості (0,1; 0,31; 0,64 і 0,87%) відповідно із зростанням кількості CeO_2 . Примітно, що кількість поверхневих і структурних OH-груп для зразків з однаковою кількістю домішкових іонів Sc, Y і Ce (зразки 1, 2, 6) співпадає. Це вказує на те, що валентність іона домішки не є основною причиною появи OH-груп в матриці ZrO_2 . Структурні OH-групи місточкового типу (Mo-OH-Zr і W-OH-Zr) спостерігалися і при входженні в решітку ZrO_2 шестивалентних Mo і W [8].

Для перевірки припущення про наявність OH-груп місточкового типу в ZrO_2 з домішкою Sc(III) були записані спектри статичного ЯМР на ядрах ^{45}Sc .

Спектр вихідного зразка складається з одніичної компоненти шириною на половині висоти $\Delta\nu_{1/2}=226$ м.ч., зміщеною в область високих частот на $\delta=126$ м.ч. від частоти Лармора (97,199 МГц) (рис. 3, 5). Прожарювання зразка при температурах 150, 400 і 700°C, а при температурах коли практично повністю виділяються поверхнева, порова вода і OH-групи, показав наступне: параметри вузької компоненти практично не змінювалися при нагріванні до 1200°C, а в спектрі зразка, прожареного при 150°C спочатку виявляється ширша (~1000 м.ч.) компонента, інтенсивність якої щодо вузької компоненти зростала із підвищенням температури і склала 1:2 при 700°C і не змінювалася до 1200°C (рис. 3, 5). Збільшувалася і її ширина до 3000 м.ч при нагріванні до 700°C і не змінювалася при продовженні нагрівання. Підвищення температури прожарювання зразків не виявило помітних змін в спектрі ЯМР ^{45}Sc . Відпал при 700°C також привів до зміщення широкої компоненти в область високих частот на $\delta=500$ м.ч. При подальшому прожарюванні хімічний зсув практично не змінювався.

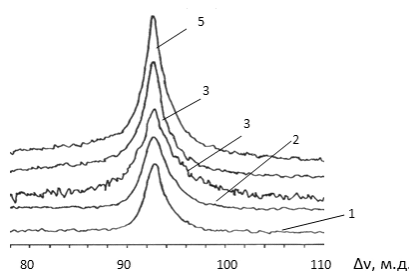


Рис. 5. Спектри ЯМР ^{45}Sc зразків $\text{Zr}_{0.92}\text{Sc}_{0.08}\text{O}(\text{OH})_{0.5}\cdot\text{nH}_2\text{O}$, прожарених при температурах, °C: 1 – 20; 2 – 150; 3 – 400; 4 – 700; 5 – 900

Сувора інтерпретація змін в спектрах ЯМР скандію має труднощі через те, що його ядра мають власний квадрупольний момент. У правильних кубічних кристалах, де квадрупольна взаємодія відсутня, спостерігаються одиночні зееманівські лінії. Дефекти кристалу: дислокації, напруги, вакансії, міжузельні і чужорідні атоми створюють в місцях розташування ядра квадрупольні градієнти, які від місця до місця змінюють не тільки орієнтацію, але й впливають на форму ліній [8]. Як правило, в дефектних кристалах в спектрах ЯМР квадрупольних ядер спостерігаються тільки компоненти, обумовлені центральними ($-1/2 \leftrightarrow +1/2$) переходами ядерного магнітного моменту, які в першому наближенні не потерпають квадрупольного розширення.

Проте, квадрупольні ефекти другого порядку можуть приводити до значних розширень центральної лінії. В роботі [9] наведено спектр ЯМР ^{91}Zr ($I=5/2$) в ZrSiO_4 , який складається з одноичної лінії складної форми і шириною – 300 кГц.

Кількість OH-груп на поверхні зразка 1 –

2,42%, а на поверхні зразка 2 – 3,04%. Порівнюючи низькотемпературні втрати маси (до 150°C) для зразка 1 (29,56%) і зразка 2 (32,43%), і втрати, пов’язані з поровою водою 7,5% і 7,97%, і гідроксильними групами на поверхні, бачимо пов’язані з більшою питомою поверхнею зразка 2.

Отримані спектри ЯМР ^{45}Sc в ZrO_2 , пов’язані з центральними лініями (рис. 5), обумовлені двома нееквівалентними положеннями іонів скандію.

При порівняні даних ЯМР на протонах і на скандії вузьку компоненту в спектрі скандію можна віднести до чисто кисневого оточення цих іонів в середині структури кристалів ZrO_2 . Це вітікає з того, що нагрівання до 1200°C не впливає ні на її хімічне зміщення, ні на її ширину. Широка компонента пов’язана з іонами Sc(III), розташованими близче до поверхні, а частина яких знаходиться на поверхні нанокристалів. На це вказує те, що електронна густина на ядрах цих іонів залежна від видаленої порової води і особливо видалення поверхневих і структурних OH груп. Видалення OH груп супроводжується появою аніонних вакансій і пониженнем локальної симетрії поблизу іонів домішки, а значить приводить до розширення лінії ЯМР. Характерно, що інтенсивність вузької компоненти при нагріванні практично не змінюється, при цьому з’являється і зростає за інтенсивністю ширша компонента.

Причому, ця компонента чітко виявляється у зразка, нагрітого до 400°C, тобто, при температурі видалення молекул води, зв’язаних сильним водневим зв’язком з поверхнею мезопор. Це означає, що молекули води створюють в місцях розташування більшої частини іонів скандію сильні і неоднорідні градієнти електричного поля, які внаслідок квадрупольного розширення приводять до зникнення компоненти в спектрі ЯМР ^{45}Sc . Видалення молекул води приводить до часткового зменшення квадрупольного розширення, появі широкої компоненти та хімічного зсуву вузької компоненти. При цьому не відбувається істотної зміни електронного оточення в обох групах іонів скандію. Видалення поверхневих і структурних OH-груп приводить не до істотного квадрупольного розширення (ширина і інтенсивність другої компоненти збільшувалася до 700°C), проте істотно збільшує електронне екронування поблизу більшої частини іонів Sc(III), яке приводить до зсуву даної компоненти в область високих частот. Ширина компоненти спектра ЯМР Sc, локалізованого поблизу поверхні і на поверхні нанокристалів ZrO_2 , обумовлена значним розкидом їх хімічних зсувів. Це вітікає з того, що при припиненні термічних (700–1200°C) змін поблизу поверхні і на поверхні не відбувається не спостерігаються і зміни в спектрі ЯМР скандію.

Таким чином, добавка іонів скандію в структуру ZrO_2 призводить до того, що після видален-

ня порової води і OH-груп утворюється сильно дефектна структура поверхні нанокристалів, яка насычена іонами домішки, але не у вигляді окремої фази Sc_2O_3 , або ОВРА подібного складу. Спектр ЯМР ^{45}Sc в Sc_2O_3 (рис. 6) істотно відрізняється від вищеописаних спектрів. Утворення такої дефектної поверхні є основною перешкодою для утворення крупних кристалів і фазових перетворень в діоксиді цирконію. Цей висновок виходить з даних ЯМР ^1H і ^{45}Sc , але можна вважати, що аналогічний розподіл відбувається для $\text{Y}(\text{III})$ і $\text{Ce}(\text{III})$, оскільки для них отримані близькі криві втрати маси при прожаренні і близькі спектри ЯМР ^1H [9].

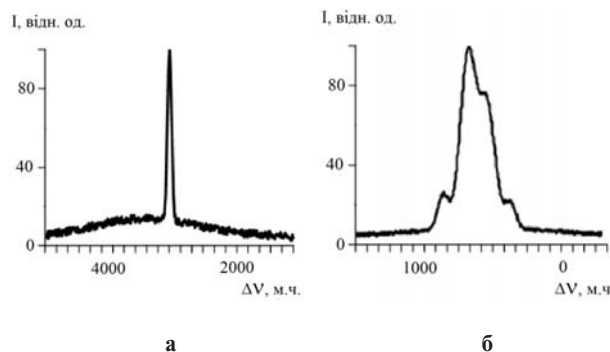


Рис. 6. Спектр ЯМР ^{45}Sc зразка 1, прожареного при 1200°C – а, і оксиду скандію (Sc_2O_3) при 20°C – б

Висновки

При формуванні ZrO_2 з сумісно осаджених гідроксидів цирконію– $\text{Sc}(\text{III})$, цирконію– $\text{Y}(\text{III})$ і цирконію– $\text{Ce}(\text{IV})$ шляхом їх термічного зневоднення в проміжних сполуках утворюються два типи молекул води і два типи OH-груп. Низькотемпературна вода (до 150°C) на поверхні кристалів і високотемпературна (до 400°C) вода в порах. Низькотемпературні (до 600°C) OH-групи на поверхні і високотемпературні (до 800°C) OH-групи в структурі кристалу.

Кількість OH-груп в структурі кристалу ZrO_2 з домішкою 2, 4, 6 і 8% CeO_2 корелює з кількістю домішкових іонів, що вказує на можливість утворюють місточкових зв'язків типу $\text{Ce}-\text{OH}-\text{Zr}$. Місточкові OH-групи утворюються також і поблизу іонів $\text{Sc}(\text{III})$ і $\text{Y}(\text{IV})$. Наявність місточкових

OH-груп в дослідженіх системах вказує на можливість формування на стадії осадження складних гідроксополімерних комплексів типу $\text{Zr}_{1-x}\text{Me}_x\text{O}(\text{OH})_y\text{nH}_2\text{O}$

Методом ЯМР на ^{45}Sc показано, що в структурі гідроксидів цирконію з домішкою 8% Sc_2O_3 після видалення порової води і структурних OH-груп супроводжується утворенням двох структурно нееквівалентних положень іонів $\text{Sc}(\text{III})$ з кількісним співвідношенням 1:2 – чисто кисневі поліедри та поліедри з OH-груп з аніонними вакансіями. Значна дефектність поверхні нанокристалів є основною перешкодою для утворення великих кристалів і фазових перетворень.

СПИСОК ЛІТЕРАТУРИ

- Стрекаловский В.Н., Полежаев Ю.М., Пальгуев С.Ф. Оксиды с примесной разупорядоченностью (состав, структура, фазовые превращения). – М.: Наука, 1987. – 160 с.
- Solid Oxide Fuel Cells (Materials Properties and Performance) / J.W. Fergus, R. Hui, Xianguo Li, D.P. Wilkinson, J. Zhang. – CRC Dotes. – London, New York, 2009. – 300 р.
- Пасенко О.О., Верещак В.Г., Ніколенко Н.В. Термодинамічний аналіз процесу сумісного осадження гідроксидів цирконію з рідкісноземельними елементами // Вопр. химии и хим. технологии. – 2009. – № 5. – С.107-109.
- Пасенко О.О., Верещак В.Г., Ніколенко Н.В. Закономірності осадження та співосадження гідроксидів металів з гідроксидом цирконію // Вопр. химии и хим. технологии. – 2010. – № 1. – С.123–126.
- Синтез нанодисперсных порошков диоксида циркония стабилизированного скандием / Верещак В.Г., Носов К.Н, Баскевич А.С, Бричевский Н.Н., Васильев Н.Н. // Вопр. химии и хим. техн.– 2007.– №5.– С.80–84.
- Емалі Дж., Фіней Дж., Саткліф Л. Спектроскопія ЯМР високого дозволу. – М.: Мир. – 1968. – Т.1. – 630 с.
- Абрагам А. Ядерний магнетизм. – М.: Мир. – 196 с.
- Влияние отжига на ЭПР-характеристики наноразмерных порошков диоксида циркония с разным составом примесей / Быков И.Н., Брик А.Б., Багмут Н.Н, и др. // Физика твердого тела. – 2009. – Т.51. Вып.6. – С.1177-1182.
- ЯМР в соединениях переменного состава / Р.Н. Плетнєв, Л.В. Золотухи, Р.Н. Губанів, А.А. Івакін. – М.: Наука, 1983.– 168 с.

Надійшла до редакції 29.01.2013